

# 量子藏宝图

题解作者: [Elliot](#)

出题人、验题人、文案设计等: 见 [Hackergame 2022 幕后工作人员](#)。

## 题目描述

- 题目分类: math
- 题目分值: 300

相传, **伯恩斯坦**曾到访过一个叫做「坎瑞亚」的古国。游历期间, 他发明了一种基于量子计算的密码算法, 这种算法可以利用量子计算机进行快速运算。然而, 时光荏苒, 时过境迁, 这种算法竟遗失在了历史长河里。这天, 旅行者(你)在游历提瓦特大陆时, 收到了一封神秘的匿名邮件。据邮件所说, 旅行者若是能够重新解密这一算法, 便能获得一个名为 **FLAG** 的金色圣遗物。似乎 **FLAG** 正是隐藏在算法之中。

## 题解

### 出题思路

本题旨在借助量子信息学中的经典算法, 来向大家介绍量子信息学的基本知识。这两个算法分别是: BB84协议<sup>1</sup> 和Bernstein-Vazirani算法<sup>2</sup>。其中, BB84协议是最早设计的量子密钥分发方案, 由Bennett和Brassard在1984年提出; Bernstein-Vazirani算法则是最早被理论证明量子计算优越的算法之一, 由伯恩斯坦和瓦济拉尼在1992年提出。

本题通过引入两个挑战, 考察答题者的资料收集、线性代数和对量子信息学的基本掌握。

## 第一部分: BB84 协议

该部分对应了**第一章-第一幕**的内容, 要求答题者和服务器协商出一个长度为128比特的随机密钥。

### 1.1 量子信息学基础

**量子比特**: 量子信息学的基础单位是量子比特(Qubit), 通常将其编码一个 $2 \times 1$ 的列向量, 例如:

$$|0\rangle = [1, 0]^T, |1\rangle = [0, 1]^T$$

在物理上说, 一个Qubit通常被编码在一个物理量上(对应的, 经典比特通常被编码在电压上)。量子态可以被编码在光量子的偏振特性上, 比如 $|0\rangle$ 编码为水平偏振( $0^\circ$ )光子,  $|1\rangle$ 被编码( $90^\circ$ )在垂直偏振光子。一个水平偏振的光子可以通过水平放置的偏振片, 而垂直偏振光子无法通过。

**量子测量**: 因此, 我们可以让一个光子通过一个偏振片, 然后探测这个光子, 以此实现对量子态的测量。例如, 我们可以让一个光子通过一个水平偏振片, 然后探测这个光子。如果能够探测到, 那么这个光子是 $|0\rangle$ , 反之是 $|1\rangle$ 。这种测量被成为 **Pauli-Z 基测量**<sup>3</sup>。

**量子操作**: 但是, 单个量子比特的表达能力比经典比特强。比如, 将一个 $|0\rangle$ 的光子通过一个 $45^\circ$ 的偏振片。此时, 该光子会变成状态:

$$|+\rangle = \frac{1}{\sqrt{2}}[1, 1]^T$$

此时，如果再次进行**Pauli-Z 基测量**，得到的量子态是随机的，有  $(1/\sqrt{2})^2 = 1/2$  的概率能够测量得到光子，有1/2概率无法探测到光子。也就是说，测量结果是量子态在测量基上的投影分量。

另一种测量是**Pauli-X基测量**，让光子通过一个  $45^\circ$  的偏振片，则一个  $45^\circ$  偏振的光子一定能被探测，一个  $135^\circ$  的光子一定不能被探测到（因为  $135^\circ$  和  $45^\circ$  正交，其在  $45^\circ$  方向上的投影分量为0）。一个  $0^\circ$  或  $90^\circ$  的光子有1/2可能性被测量到，有1/2的概率不被测量到。

我们通常将  $0^\circ$  和  $90^\circ$  光子称为 **Z 基态**制备的量子，他通过 **Pauli-Z 基测量**可以得到量子态，通过 **Pauli-X基的测量**则将产生误码。反之， $45^\circ$  和  $135^\circ$  光子称为 **X 基态**制备的量子，通过 **Pauli-X 基测量**可以得到精确结果，而**Pauli-Z 基础测量**则会产生完全随机乱码。

量子信息学将常见的量子操作形式化为 **量子逻辑门**<sup>4</sup>，用一个矩阵来表示。如果用一个矩阵操作一个量子态，则新的量子态是矩阵和量子态向量的乘积结果。例如，一个常见的量子门是 **Pauli-X 门**（对应经典的逻辑非门），其矩阵表示是：

$$\begin{bmatrix} 0 & 1 \\ 1 & 0 \end{bmatrix}$$

一个  $|0\rangle$  的量子态经过该逻辑门可以得到  $|1\rangle$  量子态：

$$|1\rangle = \begin{bmatrix} 0 \\ 1 \end{bmatrix} = \begin{bmatrix} 0 & 1 \\ 1 & 0 \end{bmatrix} \cdot \begin{bmatrix} 1 \\ 0 \end{bmatrix}$$

和经典逻辑的“与门”或“或门”类似，量子逻辑门同样存在多比特量子逻辑门，一个最经典的是CNOT，量子受控非门。该门有两个输入，一个控制比特  $q_0$ ，一个受控比特  $q_1$ 。如果  $q_0 = |0\rangle$ ，那么  $q_1$  状态不变；反之，如果  $q_0 = |1\rangle$ ，那么  $q_1$  状态反转（相当于执行 **Pauli-X 门**）。其状态矩阵是：

$$CNOT = \begin{bmatrix} 1 & 0 & 0 & 0 \\ 0 & 1 & 0 & 0 \\ 0 & 0 & 0 & 1 \\ 0 & 0 & 1 & 0 \end{bmatrix}$$

假设  $q_0 = |1\rangle$  和  $q_1 = |0\rangle$  系统的状态  $S = q_0 \otimes q_1 = |1\rangle \otimes |0\rangle = [0, 0, 1, 0]^T$ （迪尔卡积）。经过CNOT门后状态为：

$$CNOT \cdot S = [0, 0, 0, 1]^T = [0, 1]^T \otimes [0, 1]^T = |1\rangle \times |1\rangle$$

即  $q_1$  被反转。

人们将量子门组合起来，构建了量子门电路，并证明了量子门电路在表达量子算法方面的完备性。关于量子电路的介绍可以参考<sup>5 6</sup>。

## 1.2 BB84 协议

BB84 协议<sup>1</sup>利用了量子测量的投影特性，构造了第一个“信息论”安全的密钥分发协议。密钥分发协议是这样一种场景：Alice和 Bob作为通信双方，需要使用某种加密算法对消息明文进行加密。但是任何加密算法均需要一个双方共享的密钥，该密钥需要满足如下需求：

1. 该密钥应当是密码学安全的随机字符串序列
2. 该密钥不能被除了 Alice 和 Bob 之外的其他实体得知（比如一个攻击者Eva）

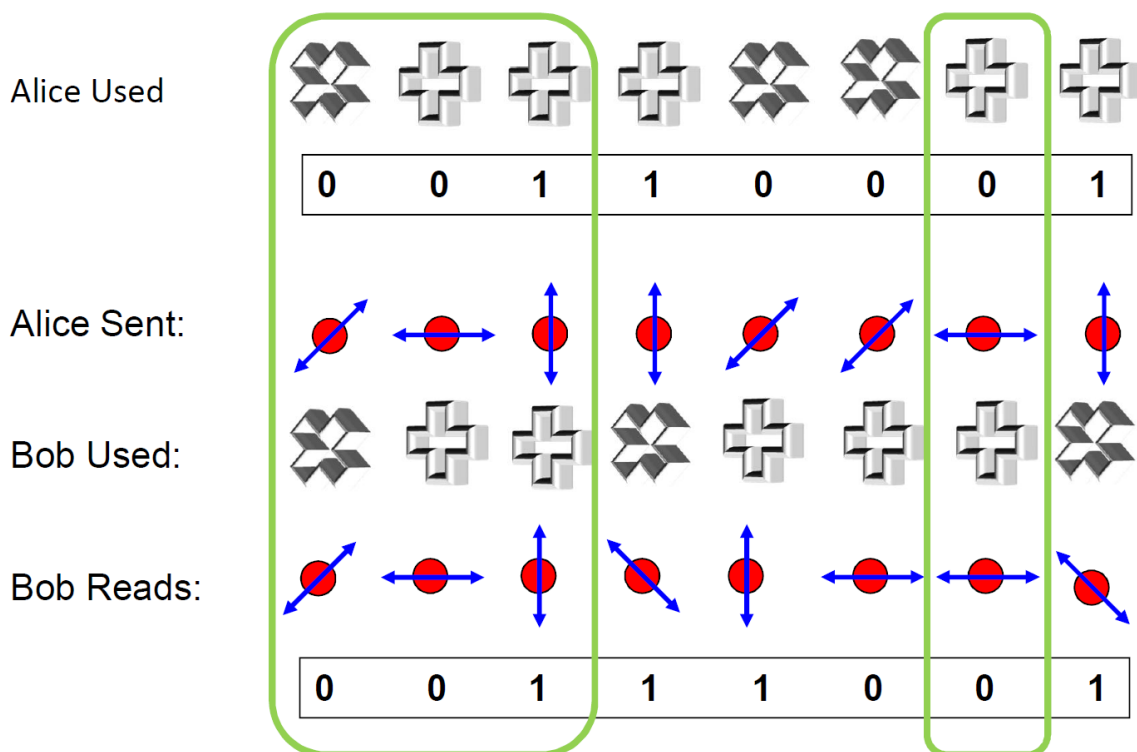
现代密码学通常基于某些数学难解问题构造密钥分发协议，比如D-H密钥交换协议或者基于椭圆曲线的D-H密钥交换（ECDH）协议等，但是通常存在如下两个问题：

1. 产生的密钥长度受限。实际密钥将不得不进行派生。
2. D-H密钥交换和ECDH的安全假设在量子计算模型下被认为是不安全的。

BB84协议的主要流程是：

1. Alice 随机产生随机数 0 或者 1，并随机产生制备基 **Pauli-X** 或者 **Pauli-Z**。然后，将随机数编码到这个制备基上。（将  $|0\rangle$  和  $|+\rangle$  编码为0，将  $|1\rangle$  和  $|-\rangle$  编码为1）。将量子发送给 Bob
2. Bob 随机选择 **Pauli-X** 基或者 **Pauli-Z** 基对接收到的光子进行测量，得到结果0或者1（将  $|0\rangle$  和  $|+\rangle$  编码为0，将  $|1\rangle$  和  $|-\rangle$  编码为1）。
3. Alice 公开选择的制备量子态的基 X 或者 Z，而 Bob 公开测量基。如果双方答案一致，则将测量结果保留作为密钥。

## 对基 (Sifting)



该流程满足了密钥交换的两个需求：

1. 只要 Alice 和 Bob 的随机数是安全的，那么密钥结果是随机字符串。
2. 中间人 Eva 将无法得知传输的量子态的准确信息。Eva 可以截取 Alice 发送的光子并测量。但是他不能保证选择的测量基和Alice的制备基一致，最终将无法准确恢复量子态并发送给 Bob。另一方面，Alice 和 Bob 可以通过对产生密钥进行校验的方式，证实链路上不存在窃听攻击。

## 1.3 第一阶段解题思路

P.S. 首先，你需要向我发送一串**制备基底**和**量子态**。你可以使用 '+' (ASCII: 43) 和 'x' (ASCII: 120) 代表 Z 基和 X 基；使用 '0' 和 '1' 代表量子态。之后，我会向你发送我的**测量基**。这样，我们就应该协商出了一个足够安全的密钥。

P.P.S. 协商的密钥还是至少为 128 比特。如果协商密钥的长度大于 128 比特，那么截取前 128 比特使用。密钥同样使用 '0' 和 '1' 字符串表示。

制备基底:

量子态:

提交量子态

重新登录

根据题意，我们在 BB84 协议中充当 Alice 的角色。我们需要首先制备“随机”的基底和量子态。考虑到 Bob 有 1/2 的概率会选择错误的测量基，我们尽可能输入长度超过  $2 \times 128 = 256$  的基底和量子态。为了简单起见，我们制备全部量子态为0，全部制备基底为+。

我们接收到来自Bob的随机测量基底为：

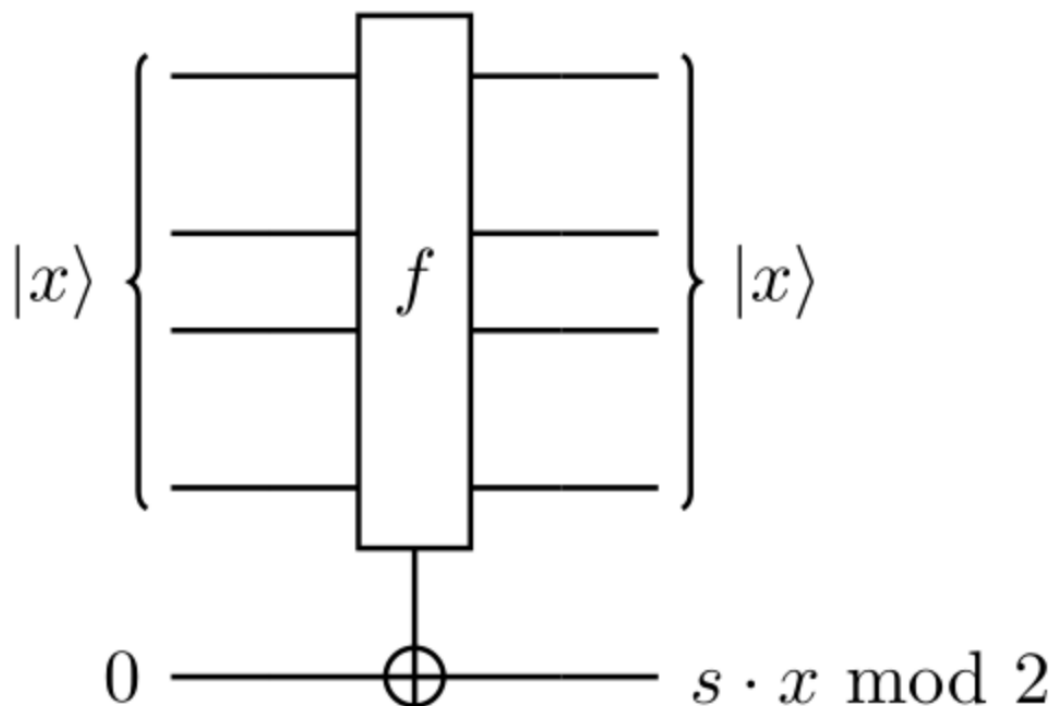
我们发现其中有148个"+", 和我们的制备基底一致。对应的密钥保留, 最终安全密钥是长度为148的'0...'字符串。

根据题干中的“伯恩斯坦”的描述，我们需要解题者自行搜索了解Bernstein-Vazirani算法。该部分对应了第二章-第一幕的题目。

Bernstein-Vazirani算法<sup>2</sup>是最早的被证明量子计算优越性（即量子计算模型比经典计算模型高效）的算法之一，这个网页<sup>7</sup>给出了关于这个算法的很好的描述。

$$f_s(x) = s \cdot x \pmod{2} = \sum_{i=0}^n s[i] \cdot x[i] \pmod{2}$$
$$\begin{aligned} f(1000 \cdots 0_n) &= s_1 \\ f(0100 \cdots 0_n) &= s_2 \\ f(0010 \cdots 0_n) &= s_3 \\ &\vdots \\ f(0000 \cdots 1_n) &= s_n \end{aligned}$$

我们首先构造一个量子电路版本的黑盒函数  $F$ ，该函数输入是  $n$  个的输入量子比特寄存器  $|x\rangle_{(0,n)}$  和一个输出寄存器  $|y\rangle_{(n+1)} = |0\rangle$ 。经过该门电路后，前  $n$  个输入量子比特的状态不变，为  $|x\rangle_{(0,n)}$ ，而输出寄存器  $|y\rangle_{(n+1)} = |s \cdot x \bmod 2\rangle$ 。下图是该黑盒操作的示意图：



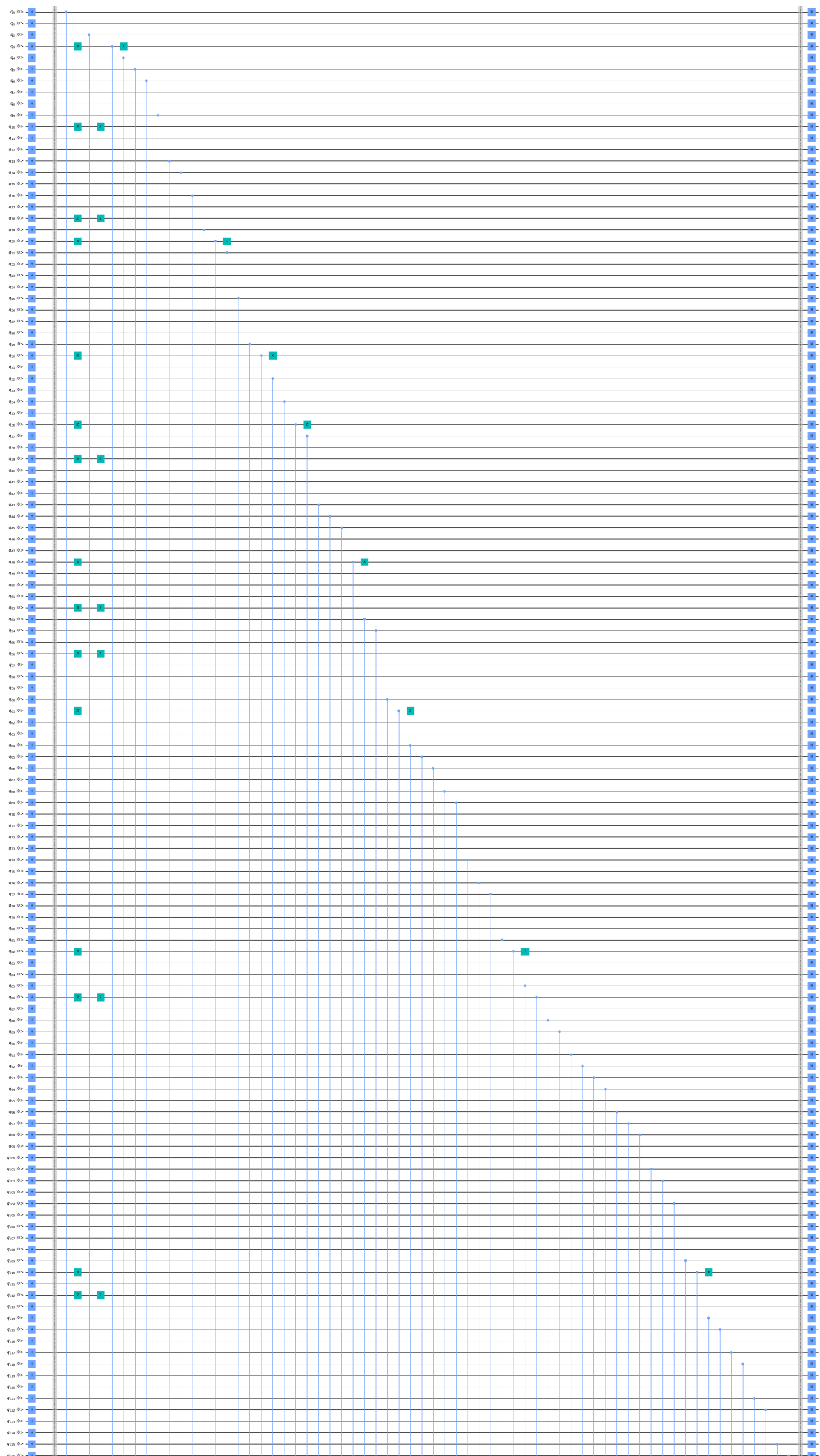
具体解法为：

1. 将输入寄存器  $|x\rangle_{(0,n)}$  的每一个 Qubit 置为  $|0\rangle$ 。将输出寄存器  $|y\rangle_{(n+1)}$  置为  $|0\rangle$
2. 将输出寄存器通过一个 **Pauli-X** ( $X = \begin{bmatrix} 0 & 1 \\ 1 & 0 \end{bmatrix}$ ) 操作, 转化为  $|1\rangle = [0, 1]^T$ ; 再通过 Hadamard 门  $H = \frac{1}{\sqrt{2}} \begin{bmatrix} 1 & 1 \\ 1 & -1 \end{bmatrix}$ , 转化为  $|-\rangle = \frac{1}{\sqrt{2}} [1, -1]^T$
3. 将输入寄存器  $|x\rangle_{(0,n)}$  的每一个 Qubit 经过 Hadamard 门  $H = \frac{1}{\sqrt{2}} \begin{bmatrix} 1 & 1 \\ 1 & -1 \end{bmatrix}$
4. 将输入寄存器  $|x\rangle_{(0,n)}$  和输出寄存器  $|y\rangle_{(n+1)}$  通过黑盒函数  $F$ , 得到  $|x\rangle_{(0,n)}$  和  $|y\rangle_{(n+1)} = |s \cdot x \bmod 2\rangle$
5. 将输入寄存器  $|x\rangle_{(0,n)}$  的每一个 Qubit 再次 Hadamard 门  $H = \frac{1}{\sqrt{2}} \begin{bmatrix} 1 & 1 \\ 1 & -1 \end{bmatrix}$
6. 使用 **Pauli-Z** 基测量输入寄存器  $|x\rangle_{(0,n)}$ , 其第  $i$  个 Qubit 的测量结果即为  $|x\rangle_i = |s_i\rangle$

可以发现, 该算法调用以此黑盒函数  $F$ , 即可实现求解。具体解法可以参考<sup>7</sup>, 这里就不给出了。只提一点, 通过前三步的构造, 输入寄存器的状态器是  $|x\rangle_{0,n} = \frac{1}{\sqrt{2^n}} \sum_{i=1}^n |x_i\rangle$ 。其中,  $|x_i\rangle = |0000 \dots i000\rangle$  的第  $i$  比特为 1。实质上实现了对经典算法中的每一个输入的叠加, 以此构造了并行特性。

## 2.2 本题解法

本题, 我们得到了整个算法的量子电路图, 包括黑盒函数  $F$  的内部结果, 可以推测这题是需要我们根据电路图本身来求解秘密值  $s$ 。我们发现, 在图中的两条灰色竖线部分正好对应了黑盒函数  $F$ , 我们下面来针对这部分重点分析。





首先，我们观察到了大量 CNOT 门电路（蓝色细连线），比如，第一个 CNOT 门将  $q_0$  和  $q_{128}$  连接。根据该电路的效果：

1. 如果  $q_0 = 0$ （对应了  $x_0 = 0$ ），那么  $q_{128}$  不变。对应了  $y$  不变
2. 如果  $q_0 = 1$ （对应了  $x_0 = 1$ ），那么  $q_{128}$  反转。对应了  

$$y = y + 1 \mod 2 = y + s_0 \cdot 1 \mod 2 = y + s_0 \cdot x_0 \mod 2$$

也就是说，如果  $s_i = 1$ ，那么存在一个 CNOT 门连接  $q_i$  和  $q_{128}$ 。

但是，我们还进一步观察到了若干成对出现的  $X$  和  $Z$  门，我们分别来对其进行讨论。

**$X$  门混淆：**观察到 Bernstein-Vazirani 算法中，输入黑盒的  $|q_i\rangle = |+\rangle = \frac{1}{\sqrt{2}}[1, 1]^T$ ，该状态经过一次  $X$  门之后的状态是：

$$|q'_i\rangle = \begin{bmatrix} 0 & 1 \\ 1 & 0 \end{bmatrix} \frac{1}{\sqrt{2}} \begin{bmatrix} 1 \\ 1 \end{bmatrix} = \frac{1}{\sqrt{2}} \begin{bmatrix} 1 \\ 1 \end{bmatrix} = |q_i\rangle, \forall i < 128$$

即， $X$  门对于输入寄存器 Qubit 的状态不变。

**$Z$  门混淆：**

**Pauli-Z** 门的矩阵表达是：

$$\begin{bmatrix} 1 & 0 \\ 0 & -1 \end{bmatrix}$$

我们已知输入 Qubit 状态为  $\frac{1}{\sqrt{2}} \begin{bmatrix} 1 \\ 1 \end{bmatrix}$ ，假设此时输出寄存器  $q_{128}$  的状态是  $\begin{bmatrix} a \\ b \end{bmatrix}$ ，(s.t.  $a^2 + b^2 = 1$ )，系统联合状态为

$$\frac{1}{\sqrt{2}} \begin{bmatrix} 1 \\ 1 \end{bmatrix} \otimes \begin{bmatrix} a \\ b \end{bmatrix} = \frac{1}{\sqrt{2}} \begin{bmatrix} 1a \\ 1b \\ 1a \\ 1b \end{bmatrix}$$

经过  $Z$  门后，状态为

$$\xrightarrow{Z_i} Z \otimes I \frac{1}{\sqrt{2}} \begin{bmatrix} 1a \\ 1b \\ 1a \\ 1b \end{bmatrix} = \begin{bmatrix} 1 & 0 & 0 & 0 \\ 0 & 1 & 0 & 0 \\ 0 & 0 & -1 & 0 \\ 0 & 0 & 0 & -1 \end{bmatrix} \frac{1}{\sqrt{2}} \begin{bmatrix} 1a \\ 1b \\ 1a \\ 1b \end{bmatrix} = \frac{1}{\sqrt{2}} \begin{bmatrix} a \\ b \\ -a \\ -b \end{bmatrix}$$

经过 CNOT 门后 状态为

$$\xrightarrow{CNOT} \begin{bmatrix} 1 & 0 & 0 & 0 \\ 0 & 1 & 0 & 0 \\ 0 & 0 & 0 & 1 \\ 0 & 0 & 1 & 0 \end{bmatrix} \frac{1}{\sqrt{2}} \begin{bmatrix} a \\ b \\ -a \\ -b \end{bmatrix} = \frac{1}{\sqrt{2}} \begin{bmatrix} a \\ b \\ -b \\ -a \end{bmatrix}$$

最后，再次经过  $Z$  门后，状态为：

$$\xrightarrow{Z_i} Z \otimes I \frac{1}{\sqrt{2}} \begin{bmatrix} a \\ b \\ -b \\ -a \end{bmatrix} = \begin{bmatrix} 1 & 0 & 0 & 0 \\ 0 & 1 & 0 & 0 \\ 0 & 0 & -1 & 0 \\ 0 & 0 & 0 & -1 \end{bmatrix} \frac{1}{\sqrt{2}} \begin{bmatrix} a \\ b \\ -b \\ -a \end{bmatrix} = \frac{1}{\sqrt{2}} \begin{bmatrix} a \\ b \\ b \\ a \end{bmatrix}$$

另一方面，我们考察不经过两次  $Z$  门，直接一次 CNOT 门的结果。

$$\xrightarrow{CNOT} \begin{bmatrix} 1 & 0 & 0 & 0 \\ 0 & 1 & 0 & 0 \\ 0 & 0 & 0 & 1 \\ 0 & 0 & 1 & 0 \end{bmatrix} \frac{1}{\sqrt{2}} \begin{bmatrix} a \\ b \\ a \\ b \end{bmatrix} = \frac{1}{\sqrt{2}} \begin{bmatrix} a \\ b \\ b \\ a \end{bmatrix}$$

也就是说：

$$(Z \otimes I) \cdot CNOT(Z \otimes I) = CNOT$$

总结，成对出现的  $Z$  门结果抵消，不会产生影响。

## 解法

最终只需要找到包含 CNOT 门的量子比特  $q_i$  其对应的  $s_i = 1$ 。根据题意将其按照大端序排列，按 ASCII 查表，得到flag：

```
1 | flag{f470a85b9b}
```

注意， $q_{128}$  对应了首个比特， $q_0$  对应了末位比特。

## 2.3 一种可能的非预期解

答题者可能会直接想办法将上述量子电路图的图片转化为电路本身，然后在现有的量子计算模拟平台（例如：<sup>8</sup> <sup>9</sup>）中得到结果。我认为这种思路也是允许的，一方面我将该电路**构造的足够大**，密钥长度为 128 bit，复现难度很高；另外，因为能够将其复现并运行，应当本身对量子计算模型有所了解了，两者难度相当。

1. C. H. Bennett and G. Brassard. "Quantum cryptography: Public key distribution and coin tossing". In Proceedings of IEEE International Conference on Computers, Systems and Signal Processing, volume 175, page 8. New York, 1984. [↵](#) [↵](#)

2. Ethan Bernstein and Umesh Vazirani (1997). "Quantum Complexity Theory". *SIAM Journal on Computing*. **26** (5): 1411–1473. doi:10.1137/S0097539796300921 [↵](#) [↵](#)

3. Pauli measurements - Azure Quantum | Microsoft Learn [↵](#)

4. Quantum logic gate - Wikipedia [↵](#)

5. Defining Quantum Circuits (qiskit.org) [↵](#)

6. Quantum circuit - Wikipedia [↵](#)

7. Bernstein-Vazirani Algorithm (qiskit.org) [↵](#) [↵](#)

8. Qiskit [↵](#)

9. ertuil/SimQN: A discrete time scheduler designed for Quantum Network (github.com) [↵](#)